



# ارائهٔ روش‌های جدید الگوی چینش پایلوت

## به منظور بهبود عملکرد سامانه DVB-T

\* بهاره خسروانی و سعید قاضی مغربی

دانشکده برق، دانشگاه آزاد اسلامی واحد یادگار امام خمینی (ره) شهری، تهران، ایران

### چکیده

یکی از بلوک‌های مهم در سامانه DVB-T، بلوک OFDM است. در بلوک OFDM، پایلوت‌ها، تخمین کanal و روش‌های درون‌یابی نقش کلیدی دارند. تعداد پایلوت‌ها در هر سبیل OFDM در الگوهای مختلف پایلوت‌ها متفاوت است. در این مقاله روش‌های الگوی چینش پایلوتی جدیدی ارائه شده تا با استفاده از سه پارامتر احتمال خطأ، زمان محاسباتی و تعداد پایلوت‌ها عملکرد سامانه DVB-T بهبود یابد. در این پژوهش بهبود عملکرد با استفاده از روش‌های مختلف درون‌یابی دو بعدی بررسی شده است. بدینهی است تمام اهداف مورد نظر در یک الگو برآورده نمی‌شود؛ یعنی به طور مثال ممکن است، خطأ کمتر، اما تعداد پایلوت بیشتر شده باشد؛ بنابراین الگوی را باید پذیرفت که مطابق با هدف مورد نظر باشد. در این پژوهش شش روش درون‌یابی دو بعدی با استفاده از low pass و linear، Nearest-neighbor، spline، Cubic Hermite، cosine و DVB-T برای چهار کanal مختلف بررسی و برای هر کanal سی روش درون‌یابی آزمایش شده است. چهار کanal استفاده شده عبارتند از کanal سامانه OFDM با نویه AWGN و سامانه OFDM با نویه AWGN و محوش‌گی، سامانه DVB-T با نویه AWGN و سامانه DVB-T با نویه AWGN و محوش‌گی. نتایج حاصل از این پژوهش نشان می‌دهد که در بیشتر حالات، روش‌های درون‌یابی خطی و کسینوسی در بعد دوم بهترین عملکرد را دارند و درون‌یابی نزدیک‌ترین همسایگی در بعد دوم بدترین عملکرد را دارد. درنهایت الگوهای پایلوت پیشنهادی با الگوی پایلوت مرسوم سامانه DVB-T مقایسه و ملاحظه شد الگوهای پایلوت پیشنهادی عملکرد بهتری نسبت به الگوی پایلوت مرسوم سیستم DVB-T دارند. از آن جا که در DVB-T جایه‌جایی و سرعت مطرح است، در مرحله دوم این پژوهش روش‌های درون‌یابی دو بعدی در چند فرکانس داپلر مختلف در سامانه DVB-T با استفاده از الگوی پایلوت آن بررسی شده است. شبیه‌سازی‌ها نشان می‌دهد که در سه فرکانس داپلر صفر، سی و ۱۵۰ هرتز الگوهای پیشنهادی پایلوت در حالی که یکی از درون‌یابی‌ها خطی باشد، عملکرد بهتری نسبت به روش متدائل در DVB-T دارند.

واژگان کلیدی: OFDM، پایلوت و درون‌یابی

## Proposed Pilot Pattern Methods for Improvement DVB-T System Performance

Bahareh Khosravani & Saeed Ghazi-Maghrebi\*

Faculty of Electrical Engineering, Yadegar-e-Imam Khomeini (RAH)  
shahre Rey Branch, Islamic Azad University, Tehran, Iran

### Abstract

Recently, orthogonal frequency division multiplexing (OFDM) has been extensively used in communications systems to resist channel impairments in frequency selective channels. OFDM is a multicarrier transmission technology in wireless environment that use a large number of orthogonal subcarriers to transmit information. OFDM is one of the most important blocks in digital video broadcast-terrestrial (DVB-T)

\* Corresponding author

\*نویسندهٔ عهده‌دار مکاتبات

سال ۱۳۹۹ شماره ۲ پیاپی ۴۴

• تاریخ ارسال مقاله: ۱۳۹۶/۰۵/۰۸ • تاریخ پذیرش: ۱۳۹۹/۰۳/۱۳ • تاریخ انتشار: ۱۳۹۹/۰۶/۲۴ • نوع مطالعه: پژوهشی



system. The goal of this paper is comparing the methods of interpolation in OFDM system that not used channel statistics information. Therefore, we used pilots for obtaining the information of channel, and by the method of estimation without use of channel statistics information, the channel primary frequency response estimated in pilot's frequencies. Pilots, channel estimation and interpolation methods are key roles in the OFDM block. The number of pilots are different in the OFDM symbol for different pilot patterns. In this article, we proposed three pilot patterns to improve DVB-T system performance. Our criteria for this purpose are error probability, calculation time, and the number of pilots. We have tested the performance improvement by using two-dimensional (2D) interpolation methods. Obviously, we do not obtain all of our requests and requirements via one pilot pattern. For example, the error may be decreases, but the number of pilots is increased. Therefore, we must select the pilot pattern that achieve the most important goal for us. We have applied six interpolation methods, for 2D interpolation, such as linear, nearest-neighbor, spline, cubic Hermite, cosine and low pass interpolations. We have compared three proposed pilot patterns with the conventional DVB-T pilot pattern in four different channels. In each channel, we have tested 30 interpolation methods. The applied channels are OFDM system with AWGN noise, OFDM system with AWGN noise and Rayleigh fading, DVB-T system with AWGN noise and DVB-T system with AWGN noise and Rayleigh fading. We observed that the best performance happens when we use linear interpolation in the first dimension and cosine interpolation in the second dimension of 2D interpolation. In addition, the worst performance will be happened when Nearest-neighbor interpolation is used in the second dimension of 2D interpolation. In the last step, we compared the proposed pilot patterns with the conventional DVB-T pilot pattern in 2D interpolation method that it leads to better performance in DVB-T system. We observed that the proposed pilot patterns have better performance than the conventional DVB-T pilot pattern. In the DVB-T, movement and velocity are very important and considered in this research. In the second step using DVB-T pilot pattern, we compared 2D interpolation methods in some different Doppler frequencies. Simulation results show that at 3 Doppler frequencies, i.e. 0, 30, 150Hz, the proposed schemes with a linear interpolation has better performance than the conventional method in the DVB-T systems.

### Keywords: DVB-T, Interpolation, OFDM, Pilot

کدگذاری دیجیتال و روش‌های انتقال، اجازه بازیابی کامل سیگنال در تمام مناطق تحت پوشش را می‌دهد. سامانه DVB-T برای ارسال یک رشته حامل MPEG-2 با طول ثابت، طراحی شده است.

در استاندارد DVB-T<sup>5</sup> برای بهبود توانایی ضدداخل چند مسیرگی و بازده طیفی سامانه از مدولاسیون تقسیم فرکانس چندگانه متعامد کشیده (COFDM<sup>6</sup>) استفاده شده است. هدف از کدگذاری کانال مقابله با خطاهای پیش‌آمده در فرایند انتشار و دریافت دنباله دیجیتال ارسالی و ایجاد قابلیت کشف و جبران خطا در سامانه است. سامانه COFDM دارای مدهای (K=1024) 2K و 8K و سه روش مدولاسیون QPSK, 16QAM یا 64QAM است. یک قاب OFDM شامل سلول‌های داده، سلول‌های پایلوت پراکنده، سلول‌های پایلوت پیوسته و حامل‌های سیگنالینگ پارامتر انتقال (TPS<sup>7</sup>) است. سامانه OFDM در نمودار جعبه‌ای سامانه DVB-T دارای کدگذاری و لایه‌گذاری است. به همین دلیل از مدولاسیون COFDM در استاندارد DVB-T استفاده می‌شود. پارامترهای مختلف ارسال بهازی دو مد با پهنه‌ی باند هشت مگاهرتز در جدول (۱) ارائه شده است [۱] و [۲] و [۳] و [۴] و [۵].

<sup>5</sup> Coded Orthogonal Frequency division Multiple

<sup>6</sup> Transmission Parameter Signaling

### ۱- مقدمه

با گسترش روزافزون نرخ انتقال اطلاعات و محدودیت پهنه‌ی باند به دنبال روش‌هایی هستیم که بتوان استفاده بهتری از پهنه‌ی باند داشت. سامانه تقسیم فرکانسی چندگانه متعامد (OFDM<sup>1</sup>) یک روش انتقال چندحملی در محیط‌های بی‌سیم است که در آن از تعداد زیادی زیرحمله‌ای متعامد برای انتقال اطلاعات استفاده می‌شود. در این سامانه اطلاعات با نرخ بیت بالا بر روی چندین زیرحمله با نرخ بیت پایین‌تر به صورت موازی ارسال می‌شود. OFDM در استانداردهای بی‌سیم زیادی مانند انتشار ویدیویی دیجیتال زمینی (DVB-T<sup>2</sup>, DVB-T2), انتشار صدای دیجیتال (DAB<sup>3</sup>), شبکه بی‌سیم محلی (WLAN<sup>4</sup>) و... پذیرفته شده است.

DVB-T سامانه‌ای برای پخش زمینی تصاویر دیجیتال بر اساس استاندارد ETSI-EN300 744 است که در سال ۱۹۹۷ آغاز شد. امروزه علاقه زیادی به وجود دارد؛ زیرا تلویزیون دیجیتال می‌تواند اطلاعات زیادی را با هزینه کم به تعداد زیادی بیننده تحويل دهد. استفاده از

<sup>1</sup> Orthogonal Frequency division Multiplexing

<sup>2</sup> Digital Video Broadcasting Terrestrial

<sup>3</sup> Digital Audio Broadcasting

<sup>4</sup> Wireless Local Area Network

در ادامه این مقاله، ابتدا در بخش ۲ به معرفی سیگنال‌های پایلوت پرداخته شده است. سپس در بخش ۳ انواع روش‌های درون‌یابی توصیف شده و در ادامه در بخش‌های ۴ و ۵ روش‌های پیشنهادی و شبیه‌سازی مطرح و در نهایت در بخش ۶ نتیجه‌گیری ارائه شده است.

## ۲- سیگنال‌های پایلوت

پایلوت‌ها داده‌های آموزشی هستند که بهمنظور بهدست‌آوردن اطلاعات کanal، توسط فرستنده در میان داده‌های اصلی در مکان ثابتی قرار می‌گیرند. پایلوت‌ها هم برای فرستنده و هم برای گیرنده شناخته شده و معلوم هستند. پایلوت‌های ارسالی توسط فرستنده، باعث ایجاد توان مصروفی کمتر همراه با واکنش سریع به تغییرات کanal می‌شوند. برای قراردادن پایلوت‌ها در سمبل‌های OFDM، دو روش اصلی به نام‌های روش بلوکی و روش شانه‌ای وجود دارد.

در سامانه DVB-T از هر دو نوع سیگنال‌های پایلوت پیوسته و گستته استفاده شده است. در اینجا "پیوسته" به این معنی است که پایلوت‌ها در تمام سمبل‌ها هستند. پایلوت‌های گستته یا پراکنده ترکیبی از هر دو نوع پایلوت‌های بلوکی و شانه‌ای هستند و در تمام سمبل‌ها قرار نمی‌گیرند. سمبل‌های پایلوت گستته در قاب OFDM دارای مکان و موقعیت ثابت هستند و برای تخمین مشخصات کanal استفاده می‌شوند. پایلوت پیوسته برای زمان‌بندی و هم‌زمان‌سازی استفاده می‌شود. مقدار یا ارزش اطلاعات پایلوت پیوسته یا پراکنده از یک دنباله دودویی شبه سلول‌های پایلوت پراکنده در هر سمبل ارسال می‌شوند. اطلاعات مرجع در سلول‌های پایلوت پراکنده و پیوسته همیشه در یک سطح توان "افزایش یافته" ارسال می‌شوند تا توان روی سمبل‌های پایلوت بیشتر از سمبل‌های داده باشد. در کل، این توان افزایش یافته بهدلیل این که می‌تواند مقاومت بیشتری در برابر نویه داشته باشد، به رديابي و تخمین بهتر کمک می‌کند [5] و [9] و [11] و [12] و [13] و [14].

### ۳- الگوی پایلوت سامانه DVB-T

سامانه DVB-T در مد 2k، تعداد ۱۷۰۵ زیر‌حامل و ۶۸ سمبل OFDM دارد. مجموع کل تعداد سلول‌ها بهزای ۶۸ سمبل OFDM و ۱۷۰۵ زیر‌حامل، برابر با  $68 \times 1705 = 115940$  است که تعداد ۱۱۹۶۸ سلول یا

(جدول-۱): پارامترهای مدولاسیون در دو حالت 2k و 8k و به ازای

کanal با پهنای باند ۸ مگاهرتز [6]

(Table-1): Modulation parameters in 2k and 8k modes for 8 MHz bandwidth

پارامتر	2k مد	8k مد
تعداد حامل‌های $k$	6817	1705
کمترین شماره حامل ( $k_{\min}$ )	0	0
بیشترین شماره حامل ( $k_{\max}$ )	6816	1704
فاصله حامل‌های $k$ و $k_{\min}$	761MHz	761MHz

در این سامانه، کanal به صورت مدلی از کanal بی‌سیم و به صورت فرکانس گزین فرض می‌شود که اغلب براساس محoshدگی رایلی به همراه نویه سفید گوسی جمع‌شونده مدل‌سازی می‌شود [7]. وقتی سیگنال حاوی اطلاعات در کanal ارسال می‌شود، اگر پهنای باند همدوسری کanal در مقایسه با پهنای باند سیگنال ارسالی کوچک باشد، کanal را فرکانس گزین گویند؛ در این حالت، کanal موجب بروز اعوجاج شدید در سیگنال ارسالی خواهد شد [8].

دو پارامتر محoshدگی و نویه جمع‌شونده در کanal‌ها باعث می‌شوند که سیگنال به دست‌آمده در خروجی کanal نسبت به سیگنال ورودی اعوجاج زیادی داشته باشد و در نتیجه خطای به وجود آمده افزایش بیشتری داشته باشد، لذا برای کاهش این اثرات لازم است که درگیرنده متعادل‌کننده‌ای براساس مشخصات معلوم کanal طراحی شود. با توجه به این که مشخصات کanal با زمان تغییر می‌کنند، لذا ضرورت دارد که مشخصه کanal به طور متناسب تخمین زده شود و متناظر با تخمین به دست‌آمده سیگنال خروجی متعادل شود تا اعوجاج ایجاد شده در سیگنال پاسخ فرکانسی کanal در زیر‌حامل‌های پایلوت توسط روش‌های تخمین و سپس پاسخ فرکانسی کلی کanal توسط روش‌های درون‌یابی به دست می‌آید [9].

یکی از مشکلات درون‌یابی، تخمین یکتابع پیچیده توسط یکتابع ساده است. با تعداد کمی نقاط داده معلوم ازتابع اصلی می‌توان برای تولید یک درون‌یابی بر مبنای یکتابع ساده‌تر استفاده کرد. روش‌های درون‌یابی متفاوتی در ریاضیات وجود دارد. وقتی یک روش خاص انتخاب می‌شود، چند مسئله مطرح می‌شود؛ از جمله کدام روش صحیح‌تر است؟ کدام روش گران‌تر است؟ کدام روش اشکال کمتری دارد؟ به چند تا نقطه داده نیاز است؟ با توجه به این که چه چیزی برای ما بالهمیت‌تر است، روش درون‌یابی مناسب انتخاب می‌شود. گاهی افزایش سادگی با ارزش‌تر از کاهش دقت است [10].

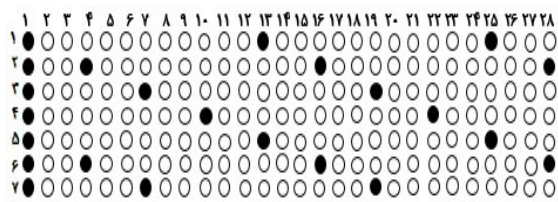


### ۱-۳- درون‌یابی نزدیک‌ترین همسایگی

این روش، ساده‌ترین روش درون‌یابی در یک یا چند بعد است. این روش، برای درون‌یابی مقدار یک نقطه، نزدیک‌ترین نقطه همسایه نسبت به نقطه مورد نظر را پیدا می‌کند و مقدار آن را برای نقطه مورد نظر محاسبه می‌کند و به مقادیر دیگر نقاط همسایه توجه نمی‌کند. در مسائل ساده، این روش خیلی خوب نیست، اما برای ابعاد بالاتر که مسائل پیچیده‌تر می‌شوند، مناسب است. این روش هم از لحاظ سرعت و هم از لحاظ سادگی، انتخاب خوبی است [26].

### ۲-۳- درون‌یابی خطی

یکی از روش‌های ساده درون‌یابی، درون‌یابی خطی است. به طور عمومی در درون‌یابی خطی از دو نقطه داده استفاده می‌شود که در واقع یک خط مستقیم ما بین این دو نقطه است. در این مقاله برای تخمین کانال با استفاده از درون‌یابی خطی براساس رابطه (۲)، از دو پایلوت مجاور استفاده شده است [28].



شکل-۱): الگوی پایلوت سامانه DVB-T  
(Figure-1): Pilot pattern in DVB-T system

$$\hat{H}(k) = \hat{H}(m N_f + L) = (\hat{H}_p(m+1) - \hat{H}_p(m)) \frac{1}{N_f} + \hat{H}_p(m) \quad m=0, 1, \dots, N_p - 1 \quad (2)$$

که در آن  $\hat{H}_p$  پاسخ فرکانسی پایلوت و  $(k)$  پاسخ فرکانسی کانال است.  $N_p$  تعداد سیگنال‌های پایلوت و  $N_f$  فاصله فرکانسی پایلوتها است؛ یعنی بهازای  $N$  زیرحامد و  $N_p$  پایلوت در فاصله فرکانسی یکسان از یکدیگر قرار دارد. در این صورت داریم:

$$N_f = \frac{N}{N_p}$$

### ۳-۳- درون‌یابی مرتبه دوم

درون‌یابی مرتبه دوم بهتر از درون‌یابی خطی است. تخمین کانال با استفاده از درون‌یابی مرتبه دوم با استفاده از ترکیب خطی سه پایلوت متواالی انجام می‌شود. به همین دلیل نسبت به درون‌یابی خطی عملکرد بهتری، اما پیچیدگی

۱۰/۳۲٪ از آن‌ها پایلوت‌های پیوسته و گسسته هستند. شماره زیرحامد هایی که پایلوت پیوسته دارند، در استاندارد DVB-T مشخص شده است. رابطه بین سمبیل‌ها و زیرحامد های برای پایلوت‌های گسسته در سامانه DVB-T براساس رابطه (۱) است.

$$k=12p+3(n-1)+1 \quad p=0, 1, \dots, 142 \quad n=1, \dots, 4 \quad (1)$$

که در آن  $p$  شماره پایلوت‌ها در هر سمبیل OFDM،  $k$  شماره زیرحامد در هر سمبیل OFDM و  $n$  شماره سمبیل OFDM است.  $n$  به جای این که از یک تا ۶۸ باشد، از یک تا چهار انتخاب می‌شود، زیرا الگوی پایلوت‌های هر چهار سمبیل یکبار تکرار می‌شود. شکل (۱) سمبیل‌های یک تا هفت و زیرحامد های یک تا ۲۸ سامانه DVB-T را نشان می‌دهد [14, 15].

### ۳- درون‌یابی به منظور تخمین کانال

تخمین کانال یکی از بلوک‌های سامانه OFDM [16], [17], [18], [19], [21] و درنتیجه یکی از بلوک‌های سامانه DVB-T است. در بلوک تخمین کانال، ابتدا پاسخ فرکانسی زیرحامد های پایلوت توسط روش‌های تخمین مانند DFT, LS, ... تخمین زده و سپس از درون‌یابی [23]. [24]. برای بهدست آوردن تخمین نهایی کانال استفاده می‌شود.

به دلیل این که در سامانه DVB-T، پایلوت‌ها در هر دو بعد زمان و فرکانس توزیع شده‌اند، درون‌یابی باید در دو بعد انجام شود. درون‌یابی دو بعدی را می‌توان ابتدا در حوزه زمان و سپس در حوزه فرکانس انجام داد (درون‌یابی زمان-فرکانس) یا این که ابتدا در حوزه فرکانس و سپس در حوزه زمان انجام داد (درون‌یابی فرکانس-زمان). استفاده از روش‌های مختلف درون‌یابی یک بعدی در هر یک از بعدهای درون‌یابی دو بعدی مجاز است و می‌توان از یک روش درون‌یابی یکسان در هر دو بعد یا از دو روش درون‌یابی متفاوت برای دو بعد درون‌یابی دو بعدی استفاده کرد [12]. روش‌های مختلفی مانند درون‌یابی‌های نزدیک‌ترین همسایگی، خطی، مرتبه دوم، اسپیلان، اسپیلان هرمیت مکعبی، پایین‌گذر، کسینوسی، خم چندجمله‌ای، خم کسری گویا و فیلتر هموارساز ساویتسکی-گولی وجود دارد. در ادامه مختصراً درخصوص روش‌های مختلف درون‌یابی که در این پژوهش استفاده شده، توضیح داده می‌شود.

مشتق نخست آن هم پیوسته است. این درونیابی بر اساس رابطه (۷) تعریف می‌شود:

$$P(x) = h_{00}(t)p_0 + h_{10}(t)m_0 + h_{01}(t)p_1 + h_{11}(t)m_1 \quad (7)$$

$$t = \frac{x - x_k}{x_{k+1} - x_k}$$

که در آن  $x_k$ ها توابع پایه هرمیت هستند و می‌توانند به روش‌های مختلفی نوشته شوند که هر روش ویژگی متفاوتی دارد. چند نمونه از روش‌های بددست‌آوردن توابع پایه هرمیت در جدول (۲) نشان داده شده است.  $p_0$  و  $p_1$  برابر با مقدارتابع در نقاط پایلوت  $x_k$  و  $x_{k+1}$  هستند و  $m_0$  و  $m_1$  هم برابر با مقدار مشتق مرتبه نخست تابع در نقاط پایلوت  $x_k$  و  $x_{k+1}$  هستند. این مقادیر از روش‌های مختلفی مانند تفاضل محدود، اسپیلاین کاردینال و اسپیلاین Catmull – Rom قابل دستیابی هستند [30]. در جدول (۲) چند جمله‌ای‌های Bernstein مرتبه ۳ بر اساس رابطه (۸) هستند.

$$B_k(t) = \binom{3}{k} \cdot t^k \cdot (1-t)^{3-k} \quad (8)$$

(جدول-۲): توابع پایه هرمیت

(Table-2): Hermit basic functions

	تعیین یافته	فاکتور گیری	Bernstein
$h_{00}(t)$	$2t^3 - 3t^2 + 1$	$(1+2t)(1-t)^2$	$B_0(t) + B_1(t)$
$H_{10}(t)$	$t^3 - 2t^2 + t$	$t(1-t)^2$	$\frac{1}{3} \cdot B_1(t)$
$h_{01}(t)$	$-2t^3 + 3t^2$	$t^2(3-2t)$	$B_0(t) + B_3(t)$
$H_{11}(t)$	$t^3 - t^2$	$t^2(t-1)$	$-\frac{1}{3} \cdot B_2(t)$

### ۶-۳- درونیابی پایین‌گذار

درونیابی پایین‌گذار به دنباله داده‌های اصلی  $L$  تا صفر اضافه می‌کند و در نتیجه نرخ نمونه‌برداری افزایش می‌یابد؛ سپس از یک فیلتر پایین‌گذار FIR با فرکانس قطع  $\pi/L$  استفاده می‌شود تا بدین واسطه داده‌های اصلی بدون تغییر عبور کنند و درونیابی شوند. درونیابی پایین‌گذار، مقدار MSE را به‌ازای نقاط درونیابی شده و مقادیر ایده‌آل آن‌ها، کمینه می‌کند [31].

### ۷-۳- درونیابی کسینوسی

درونیابی کسینوسی تعریفی مشابه درونیابی خطی دارد، اما به جای استفاده از خط مشترک بین دو نقطه، از منحنی کسینوس بین دو نقطه استفاده می‌کند. اگر دو نقطه معلوم  $(x_0, y_0)$  و  $(x_1, y_1)$  را داشته باشیم و نقطه مجھول و

بیشتری به واسطه افزایش مرتبه دارد. این درونیابی براساس رابطه (۳) تعریف می‌شود:

$$\hat{I}^p(k) = \hat{I}^p(m) N_f + L = c_1 \hat{I}^p_p(m-1) + c_0 \hat{I}^p_p(m) + c_{-1} \hat{I}^p_p(m+1) \quad m=0, 1, \dots, N_p-1 \quad (3)$$

که در آن ضرایب درونیابی مرتبه دوم براساس رابطه (۴) تعریف شده‌اند [27]:

$$c_1 = \frac{\alpha(\alpha-1)}{2} \quad c_0 = -(\alpha-1)(\alpha+1)$$

$$c_{-1} = \frac{\alpha(\alpha+1)}{2} \quad \alpha = \frac{1}{N_f} \quad (4)$$

### ۴-۳- درونیابی اسپیلاین

تابع درونیابی اسپیلاین درجه  $n$  ام در بازه  $[a, b]$  با نقاط گره‌ای  $x_0, x_1, \dots, x_n$  تابعی نظری  $S(x)$  است. در این تابع بازه  $[x_i, x_{i-1}]$  به  $n$  تا زیربازه  $[x_i, x_{i-1}]$  تقسیم می‌شود که در آن  $S(x) = x_0 \langle x_i \rangle \dots \langle x_{n-1} \rangle x_n = b$  است، در ضمن  $S(x)$  برای هر زیربازه برابر با  $f_i(x) = f_i(x_i)$  است.  $S(x)$  در بازه  $[a, b]$  پیوسته و مشتقات آن تا مرتبه  $(n-1)$  در بازه  $[a, b]$  پیوسته هستند.

رایج‌ترین اسپیلاین، اسپیلاین مکعبی است که مرتبه آن سه است. این درونیابی بر اساس رابطه (۵) است که در آن  $x_i$  و  $x_{i-1}$  دو پایلوت متوالی هستند،  $M_{i-1}$  مقدار مشتق دوم تابع در این دو پایلوت هستند [28] و [29]:

$$S(x) = (x_i - x) \left[ \frac{(x_i - x)^2 - h_i^2}{6h_i} \right] M_{i-1} + (x - x_{i-1}) \left[ \frac{(x - x_{i-1})^2 - h_i^2}{6h_i} \right] M_i + \frac{1}{h_i} (x_i - x) f_{i-1} + \frac{1}{h_i} (x - x_{i-1}) f_i \quad (5)$$

که در آن  $h_i$  به صورت زیر تعریف می‌شود:

$$h_i = x_i - x_{i-1} \quad i = 1, \dots, n \quad (6)$$

### ۵-۳- درونیابی اسپیلاین هرمیت مکعبی

اسپیلاین هرمیت مکعبی نوعی اسپیلاین است که هر قسمت آن یک چندجمله‌ای درجه سه به صورت هرمیت است. اسپیلاین هرمیت مکعبی به طور معمول برای درونیابی داده‌های عددی معلوم  $x_0, x_1, \dots, x_n$  اسفاده می‌شود تا بتوان یک تابع پیوسته و یکنواخت را به دست آورد. داده‌ها باید در هر  $x_k$  شامل مقدار تابع مورد نظر و مشتق آن باشند. فرمول هرمیت به طور جداگانه به هر بازه  $[x_k, x_{k+1}]$  اعمال می‌شود. نتیجه این اسپیلاین پیوسته خواهد بود و همچنین



است. در این پژوهش بهبود عملکرد با سه پارامتر احتمال خط، زمان محاسباتی و تعداد پایلوت اندازه‌گیری شده است. بدیهی است تمام اهداف مورد نظر توسط یک الگو برآورده نمی‌شود؛ یعنی برای مثال ممکن است، خطا کمتر ولی تعداد پایلوت بیشتر شده باشد. این موضوع هم از نظر تئوری قابل اثبات و هم نتایج شبیه‌سازی مؤید این موضوع است.

#### • الگوی پایلوت پیشنهادی شماره یک

نخستین الگوی پیشنهادی برای قراردادن پایلوت‌ها به صورت زیر پیشنهاد می‌شود:

$$\begin{aligned} k &= 6p + 3(n-1) + 1 \\ p &= 0, 1, \dots, 284 \quad n = 1, 2 \end{aligned} \quad (12)$$

که در آن  $n$  دارای مقادیر یک و دو است، زیرا الگوی پایلوت‌ها هر دو سمبیل یکبار تکرار می‌شود. مجموع تعداد سلول‌های ۶۸ سمبیلی OFDM با ۱۷۰۵ زیرحامل برابر  $= 115940$  است که  $20.876 \times 1705 = 68 \times 1705$  است. آن‌ها پایلوت‌های الگوی پیشنهادی شماره یک به اندازه ۷۶۹٪ از الگوی پایلوت متداول سامانه DVB-T بیشتر است. شکل (۴) سمبیل‌های یک تا هفت و زیرحامل‌های ۱ تا ۲۸ الگوی پایلوت پیشنهادی شماره یک را نشان می‌دهد.

موردنظر برای درون‌یابی که در فاصله بین  $x_0$  و  $x_1$  قرار دارد،  $x$  باشد، درون‌یابی کسینوسی نقطه  $x$  برابر با  $\pi/2$  است و به صورت زیر تعریف می‌شود [32]:

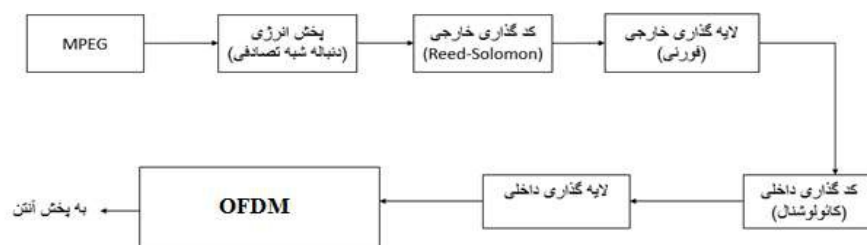
$$f = \frac{x - x_0}{x_1 - x_0} \quad (9)$$

$$g = (1 - \cos(f\pi)) \times .5 \quad (10)$$

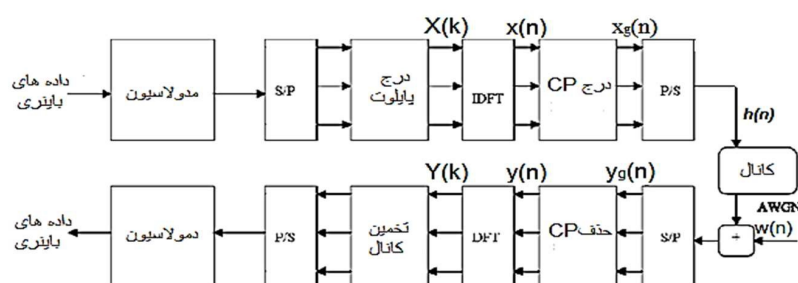
$$y = y_0 + g \times (y_1 - y_0) \quad (11)$$

## ۴- روش پیشنهادی

در این پژوهش ابتدا سامانه‌های DVB-T و OFDM مطابق شکل‌های (۲) و (۳) توسط نرم افزار MATLAB پیاده‌سازی می‌شود. برای بهبود عملکرد سامانه DVB-T و OFDM به دنبال روش‌های الگوی چینش پایلوت هستیم. با تغییرات زیادی که در ضرایب و پارامترهای الگوی پایلوت سامانه DVB-T انجام داده شد، درنهایت سه روش روش الگوی چینش پایلوت انتخاب شد که نسبت به بقیه عملکرد بهتری را در سامانه DVB-T باعث می‌شوند. در الگوهای پیشنهادی، تعداد و نحوه چینش پایلوت‌ها با الگوی پایلوت متداول سامانه DVB-T متفاوت است. در الگوهای پیشنهادی شماره یک و دو تعداد پایلوت‌ها بیشتر از الگوی پایلوت متداول سامانه DVB-T است. در الگوی پیشنهادی شماره یک داده OFDM پایلوت‌ها کمتر از الگوی پایلوت متداول سامانه DVB-T

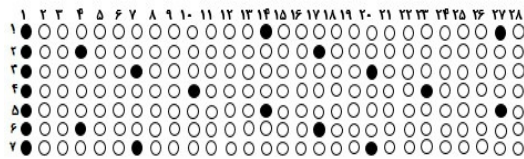


[2] نمودار جریانی فرستنده (Figure-2): DVB-T transmitter block diagram [2]



[1] نمودار جریانی سیستم OFDM (Figure-3): OFDM system block diagram [1]

زیرحاملهای یک تا ۲۸ الگوی پایلوت پیشنهادی شماره سه را نشان می‌دهد.



(شکل-۶): الگوی پایلوت پیشنهادی شماره سه  
(Figure-6): The proposed pilot pattern No. 3

## ۵- شبیه‌سازی

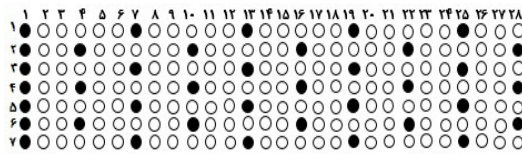
برای نشان دادن مزایای الگوهای پیشنهادی در مرحله نخست، سه الگوی پایلوت پیشنهادی را با الگوی پایلوت متداول سامانه DVB-T در چهار حالت زیر مقایسه کرده ایم:

- سامانه OFDM به همراه نوافه AWGN
- سامانه OFDM با نوافه AWGN و محوشدگی رایلی AWGN
- سامانه DVB-T به همراه نوافه AWGN
- سامانه DVB-T با نوافه AWGN و محوشدگی رایلی برای هر حالت، سی روش درون‌یابی دو بعدی پیاده‌سازی شده است. یعنی در مجموع ۱۲۰ روش شبیه‌سازی شده است. این سی روش شامل روش‌های درون‌یابی خطی، نزدیک‌ترین همسایگی، اسپیل‌لین، هرمیت مکعبی، کسینوسی و پایین‌گذر است. هر کدام از این روش‌ها را در یکی از بعدهای درون‌یابی دو بعدی قرار داده و با هم ترکیب شده‌اند تا درنهایت سی روش به دست آمد. زمان محاسباتی هر سه روش پیشنهادی به طور تقریبی نزدیک به روش الگوی پایلوت متداول سیستم DVB-T به دست آمد که به صورت درصد در جداول بیان شده و نتایج هر حالت در شکل‌های (۱۰) تا (۷) نشان داده شده است. شرایط شبیه‌سازی مطابق جدول (۳) است. اکنون هر یک از این چهار حالت شبیه‌سازی شده بررسی می‌شوند.

(جدول-۳): شرایط شبیه‌سازی

(Table-3): Simulation conditions

۲k	مد
1705	تعداد زیرحاملهای
100	CP
QPSK	مدولاسیون
رایلی	محوشدگی
30هرتز	فرکانس دلپلر
۸مگاهرتز	پهنای باند
SUI	کانال
3	تعداد تپ
0, 5/0, 1	تأخير (میکرو ثانية)
0.5-10-	توان



(شکل-۴): الگوی پایلوت پیشنهادی شماره یک

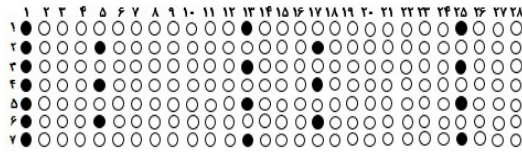
(Figure-4): The proposed pilot pattern No. 1

## • الگوی پایلوت پیشنهادی شماره دو

دومین الگوی پیشنهادی برای قرار دادن پایلوت‌ها به صورت زیر پیشنهاد می‌شود:

$$\begin{aligned} k &= 12p + 4(n-1) + 1 \\ p &= 0, 1, \dots, 142 \quad n = 1, 2 \end{aligned} \quad (13)$$

به جای این که به ۷ از یک تا ۶۸ اختصاص داده شود، یک و دو قرار داده شده است، زیرا الگوی پایلوت‌ها هر دو سمبیل یکبار تکرار می‌شود. مجموع کل تعداد سلول‌های ۶۸ سمبیل به همراه ۱۷۰۵ زیرحاملهای آن‌ها، برابر با ۱۲۳۴۲ است که تعداد  $68 \times 1705 = 115940$  سلول یا ۱۰٪/۶۵ از آن‌ها پایلوت‌های پیوسته و گستته هستند. تعداد پایلوت‌های الگوی پایلوت پیشنهادی شماره دو به اندازه ۳۷۴۲ سلول یا  $10/33\%$  از الگوی پایلوت متداول سامانه DVB-T بیشتر است. شکل (۵) سمبیل‌های یک تا هفت و زیرحاملهای یک تا ۲۸ الگوی پایلوت پیشنهادی شماره دو را نشان می‌دهد.



(شکل-۵): الگوی پایلوت پیشنهادی شماره دو

(Figure-5): The proposed pilot pattern No. 2

## • الگوی پایلوت پیشنهادی شماره سه

سومین الگوی پیشنهادی برای قرار دادن پایلوت‌ها به صورت زیر پیشنهاد می‌شود:

$$\begin{aligned} k &= 13p + 3(n-1) + 1 \\ p &= 0, 1, \dots, 131 \quad n = 1, \dots, 4 \end{aligned} \quad (14)$$

که در آن  $n$  به جای مقادیر یک تا ۶۸، مقادیر یک تا چهار را دارد، زیرا الگوی پایلوت‌ها هر چهار سمبیل یکبار تکرار می‌شود. مجموع تعداد سلول‌های ۶۸ سمبیل OFDM با ۱۷۰۵ زیرحاملهای  $115940 \times 1705 = 11696$  است که سلول یا  $10/0.9\%$  از آن‌ها پایلوت‌های پیوسته و گستته هستند. تعداد پایلوت‌های الگوی پایلوت پیشنهادی شماره سه به اندازه ۲۷۲ سلول یا  $23/0.23\%$  از الگوی پایلوت متداول DVB-T کمتر است. شکل (۶) سمبیل‌های یک تا هفت و

#### • حالت یک: سامانه OFDM به همراه نویه AWGN

در ابتدا الگوهای پایلوت پیشنهادی با سی روشنایی درونیابی دو بعدی مختلف برای "سیستم OFDM به همراه نویه AWGN"، بررسی و مقایسه شده‌اند. در جدول چهار سه پارامتر مورد سنجش احتمال خط، مدت زمان و تعداد پایلوت‌ها برای این حالت ارائه شده است. در این حالت سامانه OFDM فقط دارای نویه AWGN است.

با توجه به این جدول ملاحظه می‌شود، الگوی پایلوت پیشنهادی شماره یک میزان خطای کمتر در بیشتر روشنایی درونیابی، ۷/۶۹٪ تعداد پایلوت بیشتر و ۰/۸۴٪ زمان محاسباتی بیشتر نسبت به الگوی پایلوت متداول سامانه DVB-T دارد.

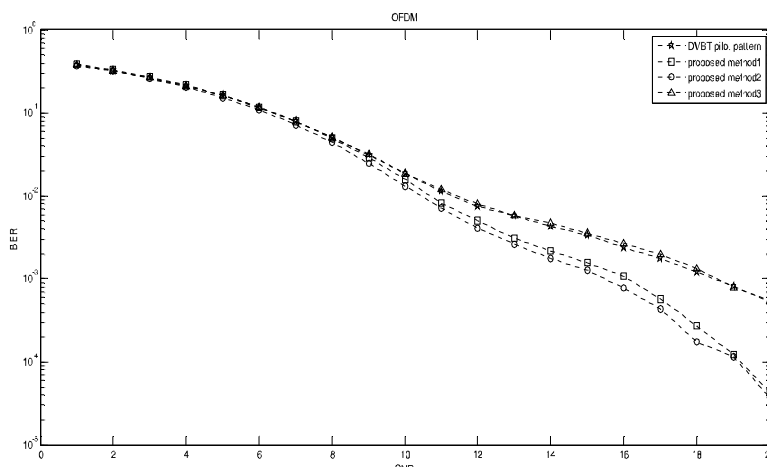
الگوی پایلوت پیشنهادی شماره دو دارای میزان خطای کمتر در چندین روشنایی، ۰/۳۳٪ تعداد پایلوت بیشتر و زمان محاسباتی برابر نسبت به الگوی پایلوت متداول سیستم DVB-T است.

الگوی پایلوت پیشنهادی شماره ۳ دارای میزان خطای کمتر در چندین روشنایی، ۰/۲۳٪ تعداد

(جدول-۴): سیستم OFDM به همراه نویه AWGN

(Table-4): OFDM system with AWGN noise

الگوها	زمان محاسباتی	تعداد پایلوت	میزان خطای
الگوی پایلوت پیشنهادی شماره ۱	۰/۸۴٪ بیشتر از الگوی پایلوت سیستم DVB-T	DVB-T سیستم	خطای کمتر از الگوی پایلوت سیستم DVB-T در بیشتر روشنایی درونیابی
الگوی پایلوت پیشنهادی شماره ۲	برابر با الگوی پایلوت سیستم DVBT	DVB-T سیستم	خطای کمتر از الگوی پایلوت سیستم DVBT در چندین روشنایی درونیابی
الگوی پایلوت پیشنهادی شماره ۳	۰/۲۱٪ بیشتر از الگوی پایلوت سیستم DVB-T	DVB-T سیستم	خطای کمتر از الگوی پایلوت سیستم DVB-T در چندین روشنایی درونیابی



(شکل-۷): درونیابی اسپیلاین-نزدیکترین همسایگی در سیستم OFDM به همراه نویه AWGN

(Figure-7): Spline-Nearest neighbor interpolation in OFDM system with AWGN noise

پایلوت کمتر و  $1/5$ % زمان محاسباتی کمتر نسبت به الگوی پایلوت متداول سامانه DVB-T دارد.

به عنوان مثال، یک آزمایش از سی آزمایش انجام شده در شکل (۸) نشان داده شده است. همان‌طور که ملاحظه می‌شود، خطای روش الگوی پایلوت پیشنهادی شماره یک بهازای SNR های بیشتر از  $19\text{dB}$  و خطای روش الگوی پایلوت پیشنهادی شماره دو بهازای SNR های بیشتر از  $18\text{dB}$  صفر شده‌اند؛ در ضمن خطای الگوی پایلوت پیشنهادی شماره سه بهازای SNR های بیشتر از  $20\text{dB}$  صفر شده است. در SNR پایین خطای هر چهار الگو به طور تقریبی برابر است و در SNR زیاد فاصله‌ی نمودارها با نمودار الگوی پایلوت سامانه DVB-T زیادتر می‌شود. به عنوان مثال بهازای SNR= $19\text{dB}$  خطای الگوهای پیشنهادی شماره ۱ و ۲ صفر شده است و خطای الگوی پیشنهادی شماره سه از الگوی سامانه DVB-T، به میزان  $3/99\text{dB}$  کمتر شده است. بنابراین هر سه الگوی پیشنهادی عملکرد مناسبی از لحاظ احتمال خطأ دارند.

## • حالت دو: سیستم OFDM به همراه نوفه AWGN و محوشدگی رایلی

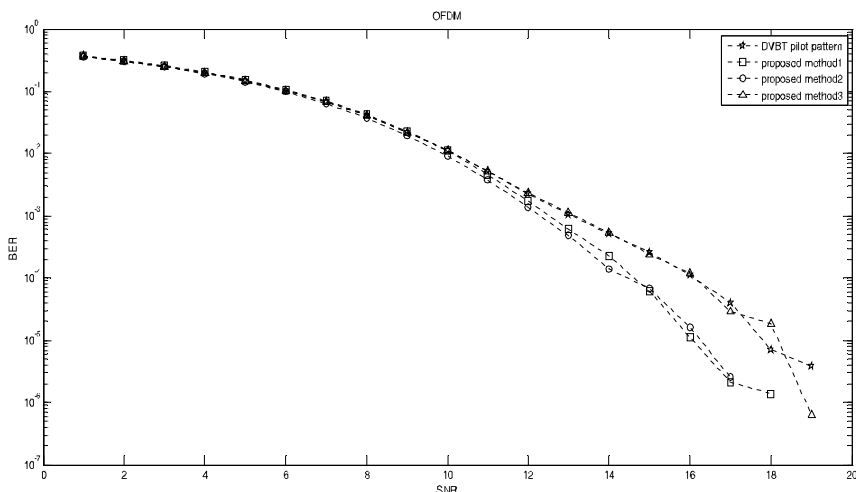
در این حالت الگوهای پایلوت پیشنهادی با سی روش درون‌یابی دو بعدی مختلف برای "سیستم OFDM به همراه نوفه AWGN و محوشدگی رایلی"، مقایسه شده‌اند. جدول (۵) سه پارامتر مورد سنجش احتمال خطأ، مدت زمان و تعداد پایلوت‌ها برای سامانه OFDM با نوفه AWGN و محوشدگی را نشان می‌دهد. براساس این جدول ملاحظه می‌شود، الگوی پایلوت پیشنهادی شماره یک دارای میزان خطای کمتر در بیشتر روش‌های درون‌یابی،  $7/69\%$  تعداد پایلوت بیشتر و  $14/9\%$  زمان محاسباتی بیشتر نسبت به الگوی پایلوت متداول سامانه DVB-T است.

الگوی پایلوت پیشنهادی شماره دو دارای میزان خطای کمتر در نصف روش‌های درون‌یابی،  $0/23\%$  تعداد پایلوت بیشتر و  $4/6\%$  زمان محاسباتی کمتر نسبت به الگوی پایلوت متداول سامانه DVB-T است.

الگوی پایلوت پیشنهادی شماره سه دارای میزان خطای کمتر در چندین روش درون‌یابی است،  $0/23\%$  تعداد

(جدول-۵): سامانه OFDM به همراه نوفه AWGN و محوشدگی رایلی  
(Table-5): OFDM system with AWGN noise and Rayleigh fading

میزان خطأ	تعداد پایلوت	زمان محاسباتی	الگوهای
خطای کمتر از الگوی پایلوت سامانه DVB-T در بیشتر روش‌ها	$7/69\%$ بیشتر از الگوی پایلوت DVB-T	$14/9\%$ بیشتر از الگوی پایلوت DVB-T	الگوی پایلوت پیشنهادی شماره یک
خطای کمتر از الگوی پایلوت سامانه DVB-T در نصف روش‌ها	$0/23\%$ بیشتر از الگوی پایلوت DVB-T	$4/6\%$ کمتر از الگوی پایلوت DVB-T	الگوی پایلوت پیشنهادی شماره دو
خطای کمتر از الگوی پایلوت سامانه DVB-T در چندین روش	$0/23\%$ کمتر از الگوی پایلوت DVB-T	$15/1\%$ کمتر از الگوی پایلوت DVB-T	الگوی پایلوت پیشنهادی شماره سه



(شکل-۸): درون‌یابی هرمیت مکعبی-نژدیک‌ترین همسایگی در سامانه OFDM به همراه نوفه AWGN و محوشدگی رایلی  
(Figure-8): Cubic hermit-Nearst neighbor interpolation in OFDM system with AWGN noise and Rayleigh fading

#### • حالت سه: سامانه DVB-T به همراه نویه AWGN

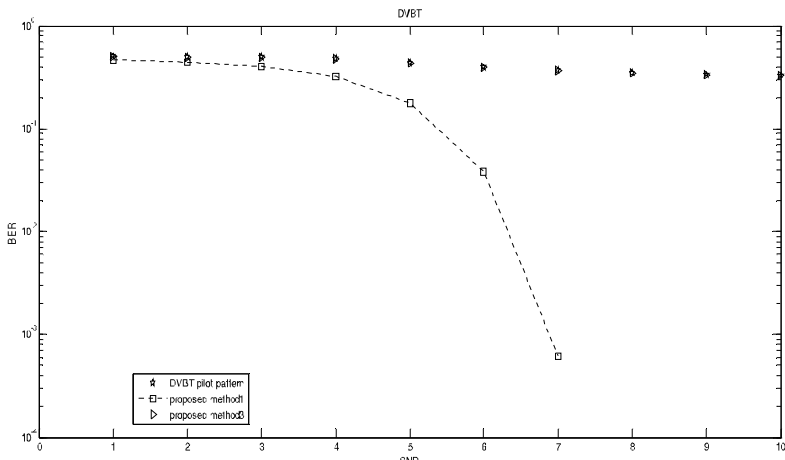
در این حالت الگوهای پایلوت پیشنهادی با سی روشنون یابی دو بعدی مختلف برای سامانه DVB-T به همراه نویه AWGN مقایسه شده اند. جدول (۶) سه پارامتر DVB احتمال خط، مدت زمان و تعداد پایلوت ها در سامانه T با نویه AWGN را نشان می دهد. براساس این جدول، الگوی پایلوت پیشنهادی شماره یک در بیشتر روش های درون یابی میزان خطی کمتری دارد، ۷/۶۹٪ تعداد پایلوت بیشتر و زمان محاسباتی برابر، نسبت به الگوی پایلوت متداول سامانه DVB-T دارد.

الگوی پایلوت پیشنهادی شماره سه از الگوی سامانه DVB-T، به میزان ۲۸/۰ dB کمتر شده است. بنابراین هر دو الگوی پیشنهادی عملکرد مناسبی از لحاظ احتمال خط دارند.

(جدول-۶): سامانه DVB-T به همراه نویه AWGN

(Table -6): DVB-T system with AWGN noise

میزان خط	تعداد پایلوت	زمان محاسباتی	الگوها
خطی کمتر از الگوی پایلوت سامانه DVB-T در بیشتر روش ها	۷/۶۹٪ بیشتر از الگوی پایلوت DVB-T	تقریباً برابر بال الگوی پایلوت DVB-T	الگوی پایلوت پیشنهادی شماره یک
خطی برابر با الگوی پایلوت سامانه DVB-T در تمام روش ها	۰/۲۳٪ کمتر از الگوی پایلوت DVB-T	تقریباً برابر بال الگوی پایلوت DVB-T	الگوی پایلوت پیشنهادی شماره سه



(شکل-۹): درون یابی اسپیلین - پایین گذر در سامانه DVB-T به همراه نویه AWGN

(Figure-9): Spline-Low pass interpolation in DVB-T system with AWGN noise

تعداد پایلوت ها برای سامانه DVB-T با نویه و محوشدگی رایلی را نشان می دهد. بر اساس این جدول الگوی پایلوت پیشنهادی شماره یک دارای میزان خطی کمتر در بیشتر روش های درون یابی است و ۷/۶۹٪ تعداد پایلوت بیشتر و زمان محاسباتی برابر، نسبت به الگوی پایلوت متداول سامانه DVB-T دارد.

#### • حالت چهار: سامانه DVB-T به همراه نویه AWGN و محوشدگی رایلی

در این حالت الگوهای پایلوت پیشنهادی توسط سی روشنون یابی دو بعدی مختلف برای "سامانه DVB-T به همراه نویه AWGN و محوشدگی رایلی"، مقایسه شده اند. جدول (۷) سه پارامتر احتمال خط، مدت زمان و

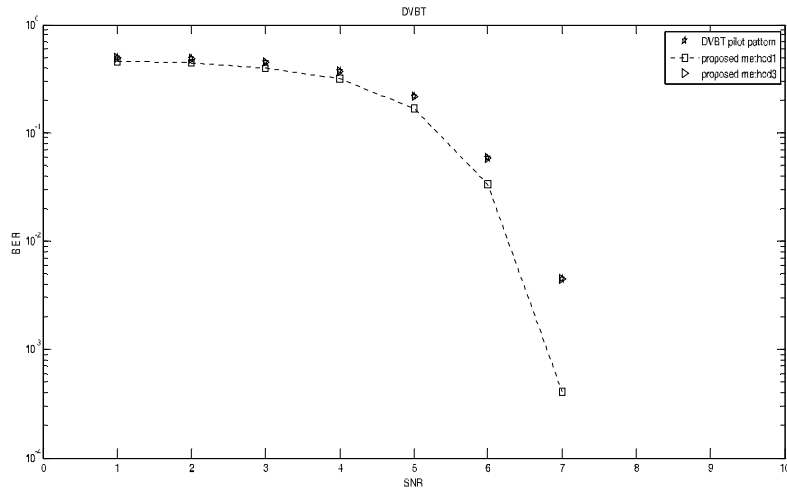
بهطور کامل مشابه دارد و نمودارهای آن‌ها روی هم قرار دارد. در SNR‌های کم خطای الگوی پیشنهادی شماره یک با الگوی پایلوت سامانه DVB-T به طور تقریبی برابر است و در SNR‌های زیاد فاصله نمودار الگوی پیشنهادی شماره یک با نمودار الگوی پایلوت سامانه DVB-T زیادتر می‌شود. به عنوان مثال در  $\text{SNR} = 7\text{dB}$  خطای الگوی پیشنهادی شماره یک از الگوی سامانه DVB-T، به میزان  $7/7\text{dB}$  کمتر شده است. بنابراین هر دو الگوی پیشنهادی عملکرد مناسبی از لحاظ احتمال خطا دارند.

الگوی پایلوت پیشنهادی شماره سه دارای میزان خطای برابر در تمام روش‌های درون‌یابی است و  $0/23\%$  تعداد پایلوت کمتر و زمان محاسباتی برابر، نسبت به الگوی پایلوت متداول سامانه DVB-T دارد. به عنوان مثال، یک آزمایش از سی آزمایش انجام شده در شکل (۱۰) نشان داده شده است. همان‌طور که در شکل (۱۰) ملاحظه می‌شود، خطای روش الگوی پایلوت پیشنهادی شماره یک به ازای SNR‌های بیشتر از  $8\text{dB}$  صفر شده است. الگوی پیشنهادی شماره سه با الگوی پایلوت سامانه DVB-T رفتاری

(جدول-۷): سامانه DVB-T به همراه نویه AWGN و محوشدگی رایلی

(Table-7): DVB-T system with AWGN noise and Rayleigh fading

میزان خطا	تعداد پایلوت	زمان محاسباتی	الگوی
خطا کمتر از الگوی پایلوت سامانه DVB-T در بیشتر روش‌ها	$7/69\%$ بیشتر از الگوی پایلوت سامانه DVB-T	برابر با الگوی پایلوت سامانه DVB-T	الگوی پایلوت پیشنهادی شماره یک
خطا برابر با الگوی پایلوت سامانه DVB-T در تمام روش‌ها	$0/23\%$ کمتر از الگوی پایلوت سامانه DVB-T	برابر با الگوی پایلوت سامانه DVB-T	الگوی پایلوت پیشنهادی شماره سه

(شکل-۱۰): درون‌یابی اسپلاین-اسپلاین در سامانه DVB-T به همراه نویه AWGN و محوشدگی رایلی  
(Figure-10): Spline-Spline interpolation in DVBT system with AWGN noise and Rayleigh fading

چهارتایی مذکور، از سه فرکانس دابلر صفر و  $30$  و  $150$  هرتز استفاده می‌شود؛ از این‌رو، در مرحله دوم شبیه‌سازی، روش‌های درون‌یابی خطی، نزدیک‌ترین همسایگی، اسپلاین، هرمیت مکعبی، کسینوسی و پایین‌گذر را در بعدهای درون‌یابی دوبعدی قرار داده و با هم ترکیب کرده و سه فرکانس دابلر  $0$ ،  $30$  و  $150$  هرتز در سامانه DVB-T برای الگوی پایلوت سامانه DVB-T پیاده‌سازی شد. شبیه‌سازی حاصل نشان می‌دهد که در بیشتر روش‌ها درون‌یابی‌های خطی و کسینوسی در بُعد دوم بهترین عملکرد را دارند و درون‌یابی نزدیک‌ترین همسایگی در بُعد دوم بدترین عملکرد را دارد. در شکل‌های (۱۱)، (۱۲) و (۱۳)

- مقایسه روش‌های درون‌یابی دوبعدی در چند فرکانس دابلر مختلف در DVB-T

پدیده دابلر در اثر سرعت نسبی فرستنده و گیرنده به وجود می‌آید و باعث ایجاد انتقال فرکانسی در فرکانس حامل در گیرنده می‌شود و درنتیجه باعث تغییر پهنه‌ای باند سیگنال ارسالی می‌شود. درصورتی که این تغییر در گیرنده خنثی نشود، باعث اعوجاج سیگنال شده و درنتیجه بازده طیف رادیویی را کاهش خواهد داد. محدوده فرکانس دابلر در سامانه DVB-T در حدود صفر تا  $243$  هرتز است. در مرحله دوم شبیه‌سازی در این مقاله، برای ارزیابی روش‌های پیشنهادی در حضور پدیده دابلر، برای هریک از حالت‌های

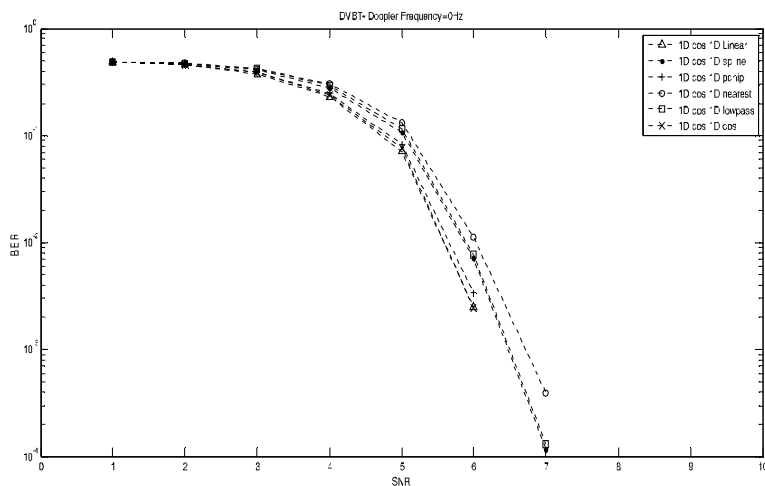
در شکل (۱۳) شش روش درون‌یابی دو بعدی با یکدیگر در فرکانس داپلر ۱۵۰ هرتز در سامانه DVB-T مقایسه شده‌اند. بُعد نخست کلیه این شش روش، درون‌یابی کسینوسی و در بعد دوم درون‌یابی‌های خطی، اسپیلان، هرمیت مکعبی، نزدیکترین همسایگی، پایین‌گذر و کسینوسی استفاده شدن.

براساس شکل‌های (۱۱)، (۱۲) و (۱۳) ملاحظه می‌شود زمانی که بُعد نخست درون‌یابی کسینوسی باشد، در SNR های کم درون‌یابی کسینوسی-خطی بهترین عملکرد و درون‌یابی کسینوسی-نزدیکترین همسایگی بدترین عملکرد را دارد. در SNR های زیاد درون‌یابی کسینوسی-خطی و کسینوسی-کسینوسی بهترین عملکرد و درون‌یابی کسینوسی-نزدیکترین همسایگی بدترین عملکرد را دارند.

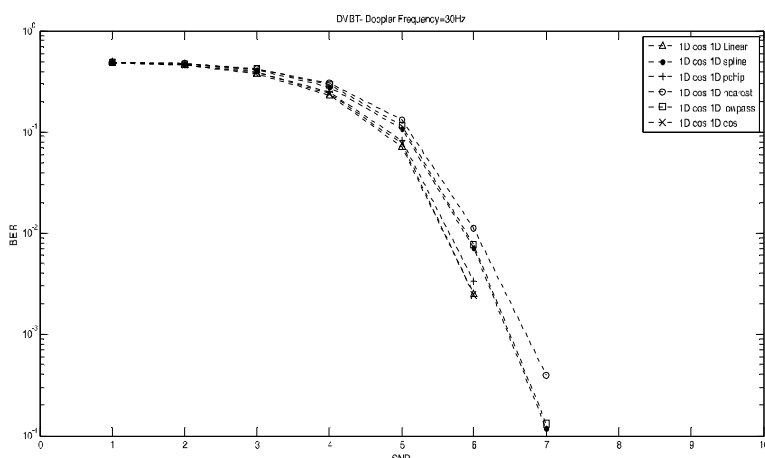
نتیجه حاصل از شش آزمایش در سه فرکانس داپلر مختلف که بُعد نخست تمام آن‌ها درون‌یابی کسینوسی است، نمایش داده شده است.

در شکل (۱۱) شش روش درون‌یابی دو بعدی با یکدیگر در فرکانس داپلر صفر هرتز در سیستم DVB-T مقایسه شده‌اند. بُعد نخست کلیه این شش روش، درون‌یابی کسینوسی و در بُعد دوم درون‌یابی‌های خطی، اسپیلان، هرمیت مکعبی، نزدیکترین همسایگی، پایین‌گذر و کسینوسی استفاده شده است.

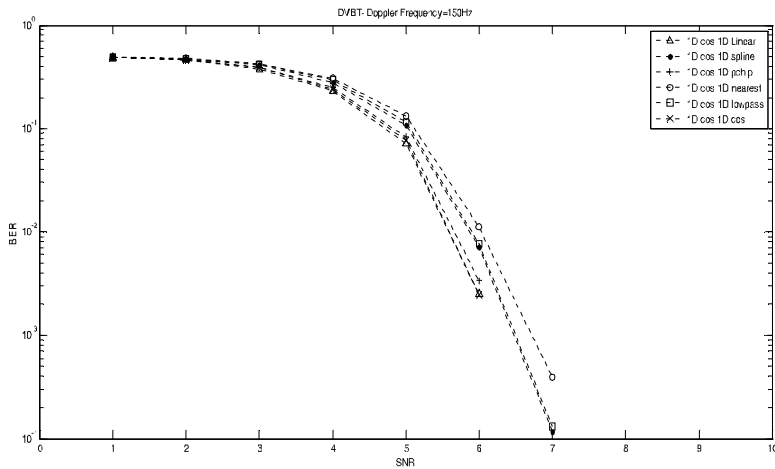
در شکل (۱۲) شش روش درون‌یابی دو بعدی با یکدیگر در فرکانس داپلر سی هرتز در سامانه DVB-T مقایسه شده‌اند. بُعد نخست کلیه این شش روش، درون‌یابی کسینوسی و در بُعد دوم درون‌یابی‌های خطی، اسپیلان، هرمیت مکعبی، نزدیکترین همسایگی، پایین‌گذر و کسینوسی استفاده شده است.



(شکل-۱۱): بُعد نخست درون‌یابی کسینوسی در فرکانس داپلر (Figure-11): Cosine interpolation in the first dimension with Doppler frequency= 0HZ



(شکل-۱۲): بُعد نخست درون‌یابی کسینوسی در فرکانس داپلر ۳۰ Hz (Figure-12): Cosine interpolation in the first dimension with Doppler frequency= 30HZ



(شکل-۱۳): بعد نخست درون یابی کسینوسی-فرکانس داپلر ۱۵۰ Hz (Figure-13): Cosine interpolation in the first dimension with Doppler frequency= 150HZ

پیشنهادی شماره یک به مقدار جزئی عملکرد بهتری نسبت به نمودار الگوی پایلوت سامانه DVB-T دارد. برای مثال در اندازه SNR=5dB خطای کمتری نسبت به الگوی پایلوت متداول سامانه DVB-T دارد.

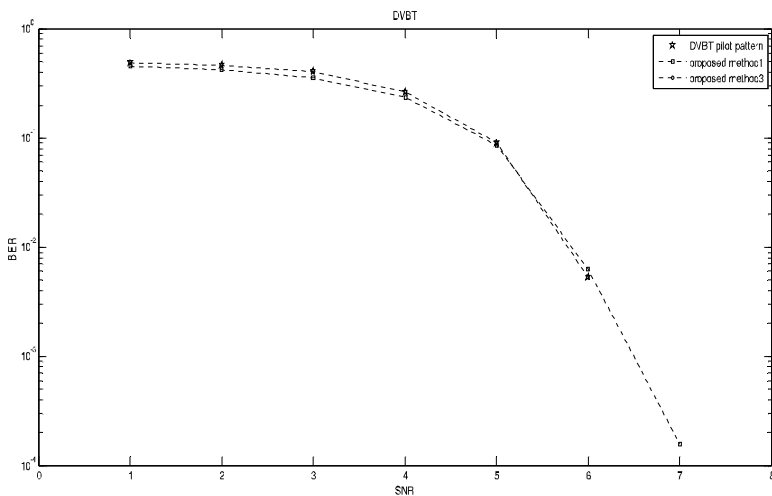
شکل (۱۵) مقایسه الگوهای پایلوت را در سامانه DVB-T بهمراه نویه AWGN و محوشدگی رایلی، در فرکانس داپلر سی هرتز و برای درونیابی هرمیت مکعبی-خطی نشان می‌دهد. همان‌طور که ملاحظه می‌شود، الگوی پایلوت پیشنهادی شماره سه با الگوی پایلوت سامانه DVB-T عملکرد به‌طور کامل مشابهی دارند. نمودار الگوی پیشنهادی شماره یک به مقدار جزئی عملکرد بهتری نسبت به نمودار الگوی پایلوت متداول سیستم DVB-T دارد. برای مثال در SNR=6dB به اندازه  $0.23^{\circ}$  خطای کمتری نسبت به الگوی پایلوت سامانه DVB-T دارد. شکل (۱۶) مقایسه الگوهای پایلوت را در سامانه DVB-T بهمراه نویه AWGN و محوشدگی رایلی، در فرکانس داپلر ۱۵۰ هرتز و برای درونیابی هرمیت مکعبی-خطی نشان می‌دهد. همان‌طور که ملاحظه می‌شود الگوی پایلوت پیشنهادی شماره سه با الگوی پایلوت سامانه DVB-T عملکرد مشابهی دارند. الگوی پیشنهادی شماره یک به مقدار جزئی عملکرد بهتری نسبت به الگوی پایلوت سیستم DVB-T دارد. به‌طور مثال در SNR=6dB به اندازه  $0.22^{\circ}$  خطای کمتری نسبت به الگوی پایلوت متداول سامانه DVB-T دارد. بنابراین در هر سه فرکانس داپلر ملاحظه می‌شود الگوهای پایلوت پیشنهادی در درونیابی هرمیت مکعبی-خطی عملکرد بهتری دارد.

- مقایسه الگوهای پایلوت پیشنهادی با الگوی پایلوت DVB-T توسط روش درونیابی مطلوب در سه فرکانس داپلر

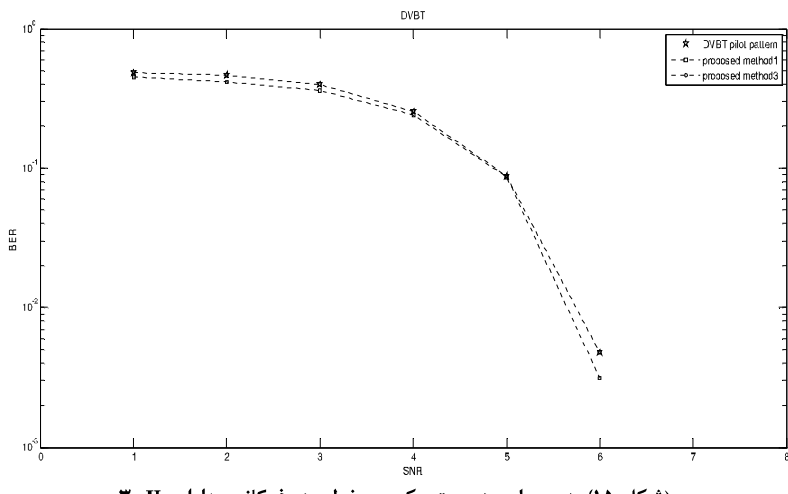
در مرحله دوم شبیه‌سازی این پژوهش، روش‌های درون‌یابی مختلف برای الگوی پایلوت سامانه DVB-T در سه فرکانس داپلر مختلف مقایسه شد. ملاحظه می‌شود که در بیشتر روش‌ها، بهترین عملکرد یا کمترین خطا زمانی اتفاق می‌افتد که بعد دوم درون‌یابی دو بعدی، درون‌یابی خطی باشد.

در مرحله سوم شبیه‌سازی از روش درون‌یابی دوی بعدی استفاده می‌شود که باعث عملکرد خوب و خطای کم در الگوی پایلوت سامانه DVB-T می‌شود. در این حالت نشان داده می‌شود که الگوهای پایلوت پیشنهادی از الگوی پایلوت متداول سامانه DVB-T در سه فرکانس داپلر مختلف، عملکرد بهتری دارند؛ از این‌رو، روش درون‌یابی مطلوب آن است که بعد دوم آن درون‌یابی خطی باشد.

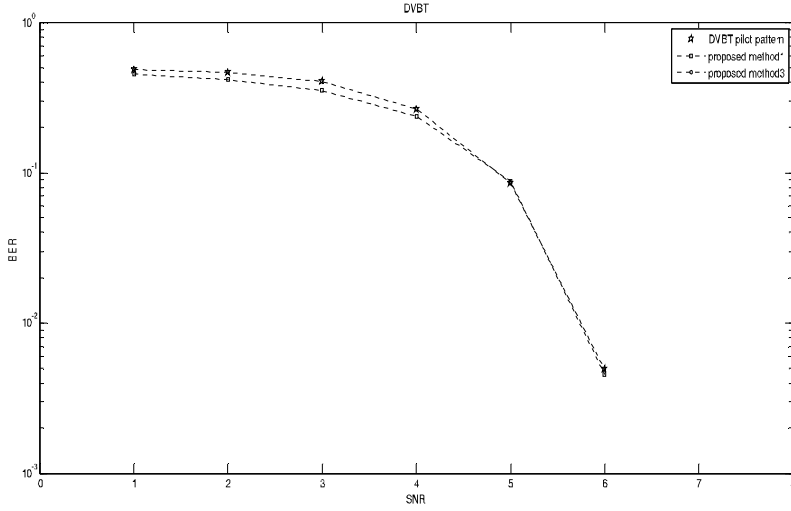
در شکل‌های (۱۴، ۱۵ و ۱۶) روش درون‌یابی دو بعدی هرمیت مکعبی-خطی برای مقایسه الگوهای پایلوت پیشنهادی با الگوی پایلوت سامانه DVB-T در سه فرکانس داپلر مختلف نشان داده شده است. شکل (۱۴) مقایسه الگوهای پایلوت را در سامانه DVB-T به همراه نویفه AWGN و محوشدگی رایلی، در فرکانس داپلر صفر هرتز و برای درون‌یابی هرمیت مکعبی-خطی نشان می‌دهد. همان‌طور که ملاحظه می‌شود، الگوی پایلوت پیشنهادی شماره سه با الگوی پایلوت سامانه عملکرد به طور کامل مشابهی دارند و نمودارهای آن‌ها یکی هستند. نمودار الگوی



(شکل-۱۴): درون‌یابی هرمیت مکعبی- خطی در فرکانس داپلر  $0 \text{ Hz}$   
 (Figure-14): Cubic hermit- Linear interpolation in Doppler frequency=  $0 \text{ Hz}$



(شکل-۱۵): درون‌یابی هرمیت مکعبی- خطی در فرکانس داپلر  $30 \text{ Hz}$   
 (Figure-15): Cubic hermit- Linear interpolation in Doppler frequency=  $30 \text{ Hz}$



(شکل-۱۶): درون‌یابی هرمیت مکعبی- خطی در فرکانس داپلر  $150 \text{ Hz}$   
 (Figure-16): Cubic hermit- Linear interpolation in Doppler frequency=  $150 \text{ Hz}$

## ۶- نتیجه‌گیری

به دلیل این که برای درون‌بایی دو بعدی استفاده از هریک از روش‌های درون‌بایی یک بعدی در دو بعد، مجاز است و می‌توان از یک روش یکسان در دو بعد و یا دو روش متفاوت در دو بعد استفاده کرد؛ بنابراین باید در انتخاب روش درون‌بایی یک بعدی براساس اولویت‌ها عمل کرد. در این پژوهش پارامترهای دقت، پیچیدگی محاسباتی و زمان مصرفی به عنوان معیارهای با اولویت در نظر گرفته شد. با توجه به نتایج به دست آمده، می‌توان با در نظر گرفتن اولویت‌های زمان محاسباتی، هزینه و خطای، یکی از چهار روش الگوی پایلوت را انتخاب کرد. برای انتخاب روش درون‌بایی دو بعدی در هر یک از چهار روش الگوی پایلوت، با توجه به اولویت‌های دقت بیشتر یا کمتر، پیچیدگی محاسباتی بیشتر یا کمتر، زمان بیشتر یا کمتر، روش مورد نظر انتخاب شود؛ بنابر نتایج حاصل از شبیه‌سازی در این پژوهش اگر اولویت هزینه یا همان تعداد پایلوت باشد، الگوی پایلوت با تعداد پایلوت کمتر ارجح‌تر و ترتیب ارجحیت به صورت زیر است:

- ۱- الگوی پایلوت پیشنهادی شماره دو
- ۲- الگوی پایلوت پیشنهادی شماره یک
- ۳- الگوی پایلوت پیشنهادی شماره سه
- ۴- الگوی پایلوت متداول سامانه DVB-T

اگر اولویت زمان محاسباتی باشد، ترتیب ارجحیت به صورت زیر است:

- ۱- الگوی پایلوت پیشنهادی شماره دو
- ۲- الگوی پایلوت پیشنهادی شماره سه
- ۳- الگوی پایلوت متداول سامانه DVB-T
- ۴- الگوی پایلوت پیشنهادی شماره یک

نتایج ذکر شده، به اختصار در جدول (۸) نشان داده شده است.

(جدول-۸): نتیجه‌گیری

(Table-8): Conclusion

زمان محاسباتی کمتر	میزان خطای کمتر	تعداد پایلوت کمتر	اولویت روشنها
الگوی پایلوت پیشنهادی شماره دو	الگوی پایلوت پیشنهادی شماره دو	الگوی پایلوت پیشنهادی شماره سه	نخستین روش ارجح
الگوی پایلوت پیشنهادی شماره یک	الگوی پایلوت پیشنهادی شماره سه	الگوی پایلوت متداول سامانه T	دومین روش ارجح
الگوی پایلوت پیشنهادی شماره سه	الگوی پایلوت پیشنهادی شماره دو	الگوی پایلوت پیشنهادی شماره دو	سومین روش ارجح
الگوی پایلوت پیشنهادی شماره یک	الگوی پایلوت متداول سامانه DVB-T	الگوی پایلوت پیشنهادی شماره یک	چهارمین روش ارجح

Department of Radio Electronics, Brno University of Technology, 2012.

[4] M. Elsharief, M. Abouelatta, Zekry, "Implementing a Standard DVB-T System using MATLAB Simulink", *International Journal of Computer Applications* (0975 – 8887), Vol. 98, No.5, pp.27-32, July 2014.

[5] سعید قاضی مغربی\* و فربیان خردادپور دیلمانی، استفاده از تبدیل بسته موجک در بهبود عملکرد OFDM به جای روش مرسوم مبتنی بر FFT، نشریه

## 7- References

## ۷- مراجع

- [1] F. Sanzi and J. Speidel, "An adaptive two-dimensional channel estimator for wireless OFDM with application to mobile DVB-T", *IEEE Transactions Broadcasting*, Vol. 46, No. 2, pp. 128-133, Jun. 2000.
- [2] K. Fazel and J. Kaiser, Multi-Carrier and Spread Spectrum Systems. John Wiley & Sons: England, 2013.
- [3] H. Onderj and T. Kratochvil, "DVBT channel coding implementation in MATLAB",



- [17] P. P. Sure, Ch. M. Bhuma, "A survey on OFDM channel estimation techniques based on denoising Filter," *International Journal of Electronics & Communication*, Vol. 5, No. 5, May 2017.
- [18] A. N. Uwaechia and N. M. Mahyuddin, "A Review on Sparse Channel Estimation in OFDM System Using Compressed Sensing," *IETE Technical Review*, Vol. 34, No. 5, pp. 514-531, 2017.
- [19] V. Mathai, K. M. Sagayam, "Comparison and Analysis of channel estimation algorithms in OFDM systems," *International Journal of Scientific & technology research*, Vol. 2, No. 3, Mar. 2013.
- [20] B. Kamislioglu, A. AKBAL, "LSE Channel Estimation and Performance Analysis of OFDM Systems," *Turkish Journal of Science & Technology*. Vol. 12, No. 2, pp. 53-57, 2017.
- [21] A. N. Uwaechia, N. M. Mahyuddin, "A Review on Sparse channel estimation in OFDM system using compressed sensing," *IETE Technical Review*. Aug. 2016.
- [22] P. Sure, Ch. M. Bhuma, "A survey on OFDM channel estimation techniques based on denoising strategies," *Engineering Science and Technology*, Elsevier, Feb. 2017
- [۲۳] سیده زهره سیدصالحی، علی مطیع نصرآبادی، وحید ابوطالبی، "به کارگیری تحلیل زمان-فرکانس و ماشین همیار در تشخیص خودکار مؤلفه‌ی  $P_{300}$  جهت ارتباط معزز با رایانه"، نشریه پژوهش علوم و داده‌ها، دوره ۵، شماره ۲، صفحه ۵۷-۴۰، سال ۱۳۸۷.
- [23] S.Z. Seyedsalehi, A.M.Nasrabadi, V.Aboutalebi, "Quadratic b-spline wavelet and committee machine for the p300 detection in Brain computer interface", *signal and data processing*, Vol.5, No. 2, pp.70-75, 2009.
- [24] Y. Asai, J.u. Mashino1, T. Sugiyama1, and M. Katayama, "simple channel tracking scheme using deductive combining for MIMO-OFDM WLANs," *IEICE Communications Express*, Vol. 6, No.7, pp. 429–434, Jul. 2017.
- [25] Y.Kao, H. Chiu, "The Analysis of Scattered Pilot OFDM System and the Discussion of Channel Estimation Based on Two Dimensional Interpolation strategies," *Engineering Science and Technology, an International Journal*, Vol. 20, No. 2, pp. 629-636, Apr. 2017.
- [26] [https://en.wikipedia.org/wiki/Nearest-neighbor\\_Interpolation](https://en.wikipedia.org/wiki/Nearest-neighbor_Interpolation).
- [27] J. Kim, D. Kim, M. Niamat, "Pilot-based channel estimation in OFDM system", University of Toledo, 2011.
- [۹] پژوهش علام و داده‌ها، دوره ۱۶، شماره ۲، صفحه ۱۲۱-۱۳۶، سال ۱۳۹۸.
- [5] F. Kh. Deylamani and S. Gh. Maghrebi, "Using WPT as a New Method Instead of FFT for Improving the Performance of OFDM Modulation", *Journal of Signal and Data Processing*, Vol. 16, No. 2, pp. 121-136, 1398.
- [6] ETSI EN 300 744, "Digital Video Broadcasting (DVB); Framing structure, channel coding and modulation for digital terrestrial television", 2009.
- [7] F. Wang, "Pilot-based channel estimation in OFDM system," University of Toledo, pp. 1-95, May 2011.
- [8] J. G. Proakis and M. salchi, "Digital communication," 5th edition 2007, Mc Graw-Hill.
- [۱۰] علی اسدی و بهزاد مظفری تازه کند، "تخمین کاتال در سیستم‌های مبتنی بر OFDM با استفاده از تبدیل وولت" ، نشریه سامانه‌های غیر خطی در مهندسی برق، دوره ۱، شماره ۱، صفحه ۲۲-۴۱، تابستان ۱۳۹۲.
- [9] A. Asadi and B. Mozaffari. T, "Channel estimation in OFDM-based systems using wavelet transform", *Journal of nonlinear systems in electrical engineering*, Vol. 1, No. 1, pp. 22-41, 2013.
- [10] <https://en.wikipcdia.org / Interpolation>.
- [11] R. Pulikkoontattu, "Channel estimation in DVB-T and OFDM systems", Mar. 2007.
- [12] Zh. IIuaqing and L. Jianbo, "Two-dimension interpolation for channel of DVBT system", *International Conference on Computer, Control Engineering*, pp.253-256, 2012.
- [13] Y .Lee, H. Kim, M. Sung, I. Park, S. Lee, "Noise reduction for channel estimation based on pilot-block averaging in DVB-T receivers ", *IEEE*, pp. 51-58, Jan. 2006.
- [14] P. Dhok, A. Dhanvijay, "A review on digital video broadcasting terrestrial (DVB-T) based OFDM system", *International Journal of Engineering and Techniques*, Vol. 1, No. 2, Mar - Apr 2015.
- [15] A. W. Abobaker, "Study and simulation of DVB-T2 IRD performance for different types of channels", M.S. thesis, Faculty of Electrical and Electronic Engineering University Tun Hussein Onn Malaysia, Jun. 2015.
- [16] S. Pathak and H. M. Markandeshwar, "Channel estimation in OFDM systems," *International Journal of Advanced Research in Computer Science and Software Engineering Research Paper*, Vol. 3, No. 3, Mar. 2013.



- [28] <http://rozup.ir/up/stcomputer/stownload/dif-anintegral.pdf>.
- [29] [https://en.wikipedia.org/wiki/Spline\\_\(mathematics\)](https://en.wikipedia.org/wiki/Spline_(mathematics)).
- [30] [https://en.wikipedia.org/wiki/Cubic\\_Hermite\\_spline](https://en.wikipedia.org/wiki/Cubic_Hermite_spline).
- [31] A.Z.M. Touhidul Islam, I. Misra, "Performance of wireless OFDM system with LS-interpolation-based channel estimation in multi-path fading channel", *International Journal on Computational Sciences & Applications (IJCSA)*, Vol. 2, No.5, Oct. 2012 .
- [32] [https://www.petcsqbsite.com/sections/zincs/qb-on\\_acid/\\_zip/index.html](https://www.petcsqbsite.com/sections/zincs/qb-on_acid/_zip/index.html)
- [33] SA. Hosseini, H. Ghassemian, "Hyperspectral data feature extraction using rational function curve fitting," *International Journal of Pattern Recognition and Artificial Intelligence*, Vol. 30, No. 01, 1650001, 2016.
- [34] M. Beitollahi, SA. Hosseini, "Using Savitsky-Golay filter and interval curve fitting in order to hyperspectral data compression," *Iranian Conference on Electrical Engineering (ICEE)*, pp.1967-1972, 2017.



بهاره خسروانی مدرک کارشناسی و کارشناسی ارشد خود را در سال‌های ۱۳۹۵ و ۱۳۹۱ در رشته برق مخابرات در دانشگاه آزاد اسلامی یادگار امام خمینی (ره) واحد شهری گرفت.

نشانی رایانame ایشان عبارت است از:

Bahareh.khosravani@yahoo.com



سعید قاضی مغربی. ایشان مهندسی الکترونیک خود را در سال ۱۳۶۸ از دانشگاه شهید باهنر کرمان و کارشناسی ارشد مخابرات را در سال ۱۳۷۴ از دانشگاه خواجه نصیرالدین طوسی و در سال ۱۳۸۸ دکترای تخصصی خود را در مخابرات سیستم از واحد علوم و تحقیقات دانشگاه آزاد اسلامی گرفتند. نامبرده از سال ۱۳۶۸ عضو هیئت علمی دانشگاه آزاد اسلامی واحد یادگار امام خمینی (ره) شهری است. هم‌اکنون ریاست این دانشگاه را بر عهده دارند. ایشان در سال ۱۳۹۵ موفق به اخذ رتبه سوم پژوهش‌های کاربردی جشنواره بین‌المللی خوارزمی شدند و تاکنون ترجمه و تألیف پنج کتاب دانشگاهی را انجام داده‌اند و تخصص ایشان در حوزه مخابرات دیجیتال، فیلترهای ورقی و مخابرات طیف گسترده است.

نشانی رایانame ایشان عبارت است از:

ghazimaghrebi@jdnasir.ac.ir

